



AUTORES  
AUTHORS

CENTRÍFUGA DE PLASMA  
CIRCUITO FORMADOR DE PULSO LC  
IMPEDÂNCIA DE PLASMA

AUTOR RESPONSÁVEL  
RESPONSIBLE AUTHOR

*Renato Sérgio Dallaqua*

PALAVRAS CHAVES/KEY WORDS

DISTRIBUIÇÃO/DISTRIBUTION

- INTERNA / INTERNAL  
 EXTERNA / EXTERNAL  
 RESTRITA / RESTRICTED

AUTORIZADA POR/AUTHORIZED BY

*Ludwig*  
Gerson Otto Ludwig  
Chefe do LAP

REVISADA POR / REVISED BY

*Rossi*  
José Osvaldo Rossi

CDU/UDC

533.9

DATA / DATE

Outubro/1990

TÍTULO/TITLE

PUBLICAÇÃO Nº  
PUBLICATION NO

INPE-5161-RPE/639

ORIGEM  
ORIGIN

LAP

PROJETO  
PROJECT

PCEN

Nº DE PAG.  
NO OF PAGES

ULTIMA PAG.  
LAST PAGE

40

A.11

VERSÃO  
VERSION

Nº DE MAPAS  
NO OF MAPS

AUTORES/AUTHORSHIP

Renato Sérgio Dallaqua  
Edson Del Bosco  
Gerson Otto Ludwig  
Antonio Montes

RESUMO - NOTAS / ABSTRACT - NOTES

Neste trabalho são mostrados o projeto, construção e o desempenho de um circuito formador de pulso LC, para a Centrífuga de Plasma. Usando simulação numérica, para resolver as equações de Kirchhoff do circuito, foi possível determinar os valores dos indutores para obter um pulso de corrente de plasma, praticamente constante, com duração aproximada de 12 ms.

OBSERVAÇÕES / REMARKS



AUTORES  
AUTHORS

PALAVRAS CHAVES / KEY WORDS  
CENTRÍFUGA DE PLASMA  
CIRCUITO FORMADOR DE PULSO LC  
IMPEDÂNCIA DE PLASMA

AUTOR RESPONSÁVEL  
RESPONSIBLE AUTHOR

*Renato Sérgio Dallaqua*

DISTRIBUIÇÃO / DISTRIBUTION

- INTERNA / INTERNAL  
 EXTERNA / EXTERNAL  
 RESTRITA / RESTRICTED

AUTORIZADA POR / AUTHORIZED BY

*Gerson Otto Ludwig*  
Gerson Otto Ludwig  
Chefe do LAP

REVISADA POR / REVISED BY

*José Osvaldo Rossi*  
José Osvaldo Rossi

CDU / UDC

533.9

DATA / DATE

Outubro / 1990

TÍTULO / TITLE

PROJETO E CONSTRUÇÃO DE UM CIRCUITO  
FORMADOR DE PULSO PARA A CENTRÍFUGA  
DE PLASMA

PUBLICAÇÃO N°  
PUBLICATION NO

INPE-5161-RPE/639

ORIGEM  
ORIGIN

LAP

PROJETO  
PROJECT

PCEN

Nº DE PAG.  
NO OF PAGES

40

ULTIMA PAG.  
LAST PAGE

A.11

VERSÃO  
VERSION

Nº DE MAPAS  
NO OF MAPS

AUTORES / AUTHORSHIP

Renato Sérgio Dallaqua  
Edson Del Bosco  
Gerson Otto Ludwig  
Antonio Montes

RESUMO - NOTAS / ABSTRACT - NOTES

Neste trabalho são mostrados o projeto, construção e o desempenho de um circuito formador de pulso LC, para a Centrífuga de Plasma. Usando simulação numérica, para resolver as equações de Kirchhoff do circuito, foi possível determinar os valores dos indutores para obter um pulso de corrente de plasma, praticamente constante, com duração aproximada de 12 ms.

OBSERVAÇÕES / REMARKS

### ABSTRACT

In this work we show the project construction and the performance of a pulse LC network for the Plasma Centrifuge experiment. Using numerical calculation, to solve Kirchhoff's equations of the circuit we determine the values of the inductors necessary to obtain a pulse of plasma current practically constant with duration about 12 ms.

## SUMÁRIO

	<u>Pág.</u>
LISTA DE FIGURAS.....	v
1 <u>INTRODUÇÃO</u> .....	1
2 <u>CIRCUITO LINHA DE TRANSMISSÃO LC</u> .....	3
3 <u>IMPEDÂNCIA DO PLASMA E DIMENSIONAMENTO DO CIRCUITO PARA UM PULSO DE 12ms</u> .....	8
4 <u>SIMULAÇÃO DO PULSO DO CIRCUITO LINHA DE TRANSMISSÃO LC</u> .....	12
5 <u>FORMA FINAL DO CIRCUITO DE PULSO LC</u> .....	13
6 <u>RESULTADOS OBTIDOS EXPERIMENTALMENTE</u> .....	18
7 <u>DISCUSSÃO DOS RESULTADOS</u> .....	19
8 <u>CONCLUSÃO</u> .....	20
REFERÊNCIAS BIBLIOGRÁFICAS.....	21
APÊNDICE A - CÁLCULO NUMÉRICO DO PULSO DE CORRENTE DE PLASMA....	A.1

## LISTA DE FIGURAS

Pág.

1 - Esquema do experimento PCEN.....	1
2 - Forma da corrente de plasma versus tempo.....	2
3 - Circuito linha de transmissão LC.....	3
4 - Forma de onda da corrente na carga.....	4
5 - Circuito linha de transmissão que leva em conta as resistências dos capacitores e indutores.....	6
6 - Malhas do circuito formador de pulso LC para obtenção das equações de Kirchhoff.....	7
7 - Forma do pulso para $Z_{\text{linha}} = Z_{\text{carga}}$ quando L e C não são ideais.....	8
8 - Variação temporal do campo magnético axial da PCEN.....	11
9 - Forma do pulso de corrente com todos os indutores iguais a $10 \mu\text{H}$ .....	12
10 - Forma do pulso quando a resistência dos indutores for maior que $1 \text{ m}\Omega$ .....	13
11 - Foto do circuito linha de transmissão LC construído.....	15
12 - Disposição dos 22 indutores, seus valores e respectivas resistências.....	16
13 - Pulso de corrente com a disposição da Figura 12.....	17
14 - Pulso de corrente obtido experimentalmente com catodo de magnésio, tensão de carga de 100V e campo magnético de 1,5 KG.....	18
15 - Pulso de corrente e campo magnético.....	19
A.1- Corrente de plasma versus tempo obtida com a simulação numérica.....	A.11

## 1 INTRODUÇÃO

O projeto Centrífuga de Plasma (PCEN) vem sendo desenvolvido no LAP/INPE desde o segundo semestre de 1981 e os objetivos deste experimento são o estudo da viabilidade como separador isotópico e a pesquisa de plasmas em rotação.

O esquema do experimento como utilizado até junho de 1989 está mostrado na Figura 1. Resumidamente, o funcionamento do experimento é dado a seguir. O catodo é carregado por um banco de capacitores de 50 mF a uma tensão típica de 50-100V, e uma grade aterrada à cerca de 5 cm do catodo funciona como anodo. Não ocorre descarga entre o catodo e o anodo, pois estes estão dentro de uma câmara de vácuo a uma pressão de  $1 \times 10^{-6}$  mbar. A descarga em arco entre o catodo e o anodo ocorre sómente quando um laser de CO<sub>2</sub> de 3 joules e 100 ns de largura de pulso é incidido sobre o catodo, criando um plasma que fecha o circuito entre o catodo e o anodo.

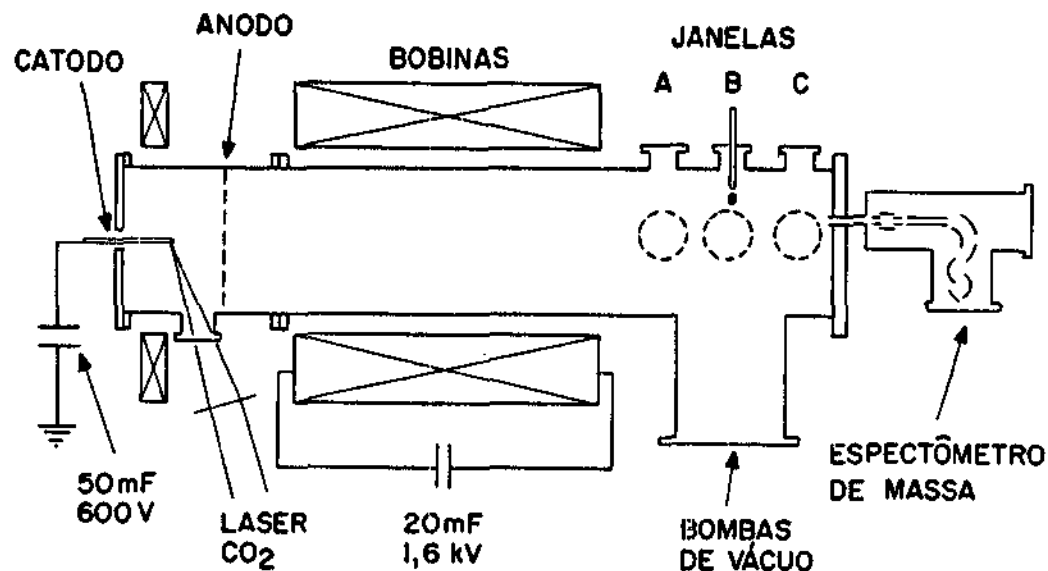


Fig. 1 - Esquema do experimento PCEN.

A Figura 2 mostra a corrente de plasma obtida com a descarga do banco de capacitores entre o catodo e o anodo.



Fig. 2 - Forma da corrente de plasma versus tempo.  
A duração total do pulso de corrente é  
cerca de 3 ms.

A interação entre esta corrente e o campo magnético axial produzido pelas bobinas (campo pulsado com  $\tau = L/R = 120$  ms., campo constante  $\approx 10$  ms.) faz com que a coluna de plasma entre em rotação (força  $J \times B$ ). Uma descrição física desta coluna é dada por Bittencourt [1] e Bittencourt e Ludwig [2]. Medidas de enriquecimento foram feitas por Del Bosco et al. [3, 4, 5] com um espectrômetro de massa do tipo quadrupolo elétrico.

Neste relatório estão mostradas as mudanças feitas no circuito elétrico do arco de tal forma a obter uma corrente de plasma praticamente constante por cerca de 10 ms., utilizando um circuito formador de pulso. São mostrados o projeto, a construção e o desempenho desse circuito.

A vantagem de ter uma corrente de plasma constante por alguns milissegundos é a de poder obter vários parâmetros do plasma, tais como temperatura de elétrons, íons, densidade de partículas carregadas e enriquecimento num único pulso. Este procedimento, além de agilizar a aquisição de dados, evita o problema de flutuações que ocorrem ao utilizar vários pulsos para obter, por exemplo, a curva característica de sondas de Langmuir ou o espectro de massa.

## 2 CIRCUITO LINHA DE TRANSMISSÃO LC

O circuito linha de transmissão LC tem o esquema mostrado na Figura 3.

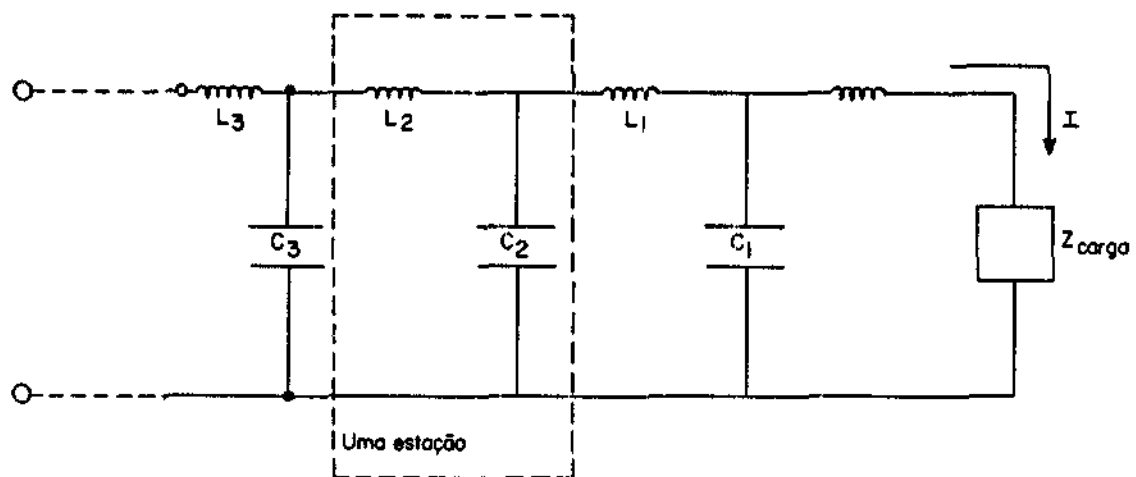


Fig. 3 - Circuito linha de transmissão LC.

A impedância deste circuito é dada pela expressão:

$$Z_{\text{linha}} = Z_0 = \sqrt{\frac{L}{C}} . \quad (1)$$

A forma de onda da corrente na carga pode ter as formas indicadas na Figura 4.

Desse modo se pretender obter uma corrente constante, deve-se fazer Z<sub>carga</sub> o mais próximo possível de Z<sub>linha</sub>. Neste caso, Z<sub>carga</sub> é a impedância do plasma.

Se há, então, um casamento perfeito de impedância, tem-se, assim, uma corrente de forma quadrada com duração  $\tau_p$  dada por:

$$\tau_p = 2N \sqrt{LC} \quad (2)$$

onde  $N$  é o número de estações (células LC),  $L$  é a indutância e  $C$  a capacidade (L e C são ideais).

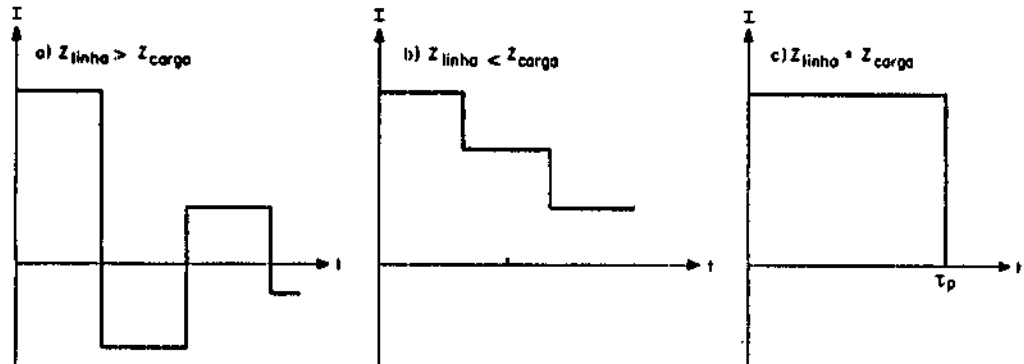


Fig. 4 - Forma de onda da corrente na carga.  
 a) impedância da linha maior que a impedância da carga; b) impedância da linha menor que a da carga; c) impedância da linha igual à da carga.

Os capacitores reais têm uma resistência em série e em paralelo e os indutores, uma resistência em série, tornando, assim, o circuito na forma mostrada na Figura 5. A Figura 6 mostra como obter as equações de Kirchhoff para este circuito.

Da Figura 6a, tem-se:

$$\frac{dQ_i}{dt} = I_{i+1} - I_i - \frac{Q_i}{R_{p_i} C_i} \quad \text{para } i \neq N \quad (3)$$

e

$$L_i \frac{dI_i}{dt} = v_2 - v_1 \quad \text{ou}$$

$$\frac{dI_i}{dt} = \frac{1}{L_i} \left\{ R_{s(i+1)}(I_{i+1} - I_i) + \frac{Q_i}{C_i} - \left[ R_{s(i-1)}(I_i - I_{i-1}) + \frac{Q_{i-1}}{C_{i-1}} \right] - R_{L_i} I_i \right\} \quad \text{para } i \neq 1, i \neq N. \quad (4)$$

Da Figura 6b, tem-se:

$$\frac{dI_1}{dt} = \frac{-I_1(R_{s1} + R_{carga} + R_{L1}) + I_2 R_{s1} + Q_1/C_1}{L_1 + L_{carga}}. \quad (5)$$

Da Figura 6c, tem-se:

$$\frac{dQ_N}{dt} = -I_N - \frac{Q_N}{R_{pN} C_N} \quad (6)$$

e

$$L_N \frac{dI_N}{dt} = v_2 - v_1 \quad \text{ou}$$

$$\frac{dI_N}{dt} = \frac{1}{L_N} \left\{ -R_{sN} I_N + \frac{Q_N}{C_N} - \left[ R_{s(N-1)}(I_N - I_{N-1}) + \frac{Q_{N-1}}{C_{N-1}} \right] - R_{LN} I_N \right\} \quad (7)$$

Estas são  $2N$  equações lineares em  $2N$  variáveis. A corrente através da carga ( $I_1$ ) é a variável de interesse.

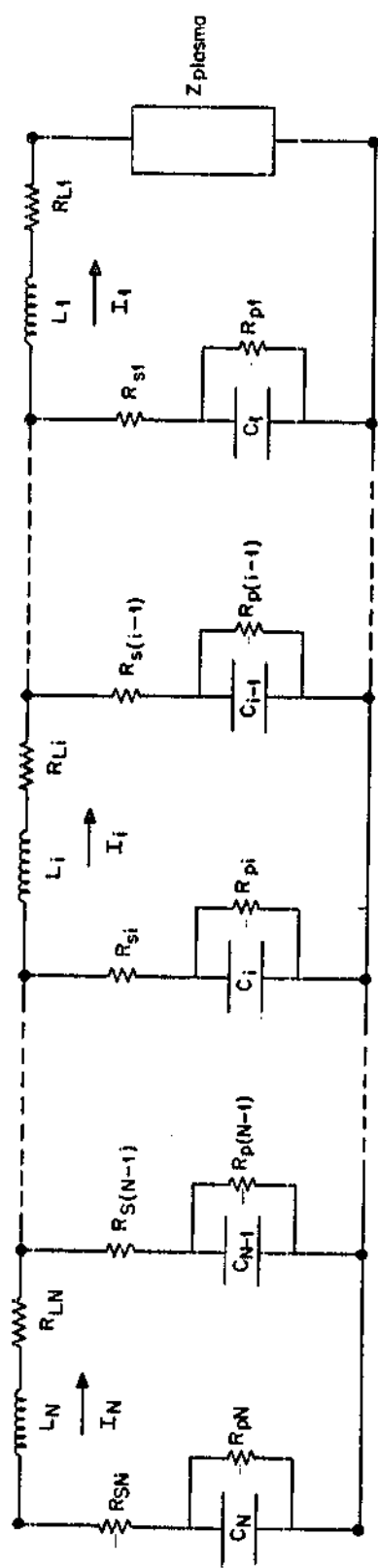


Fig. 5 - Circuito linha de transmissão que leva em conta as resistências dos capacitores e indutores.

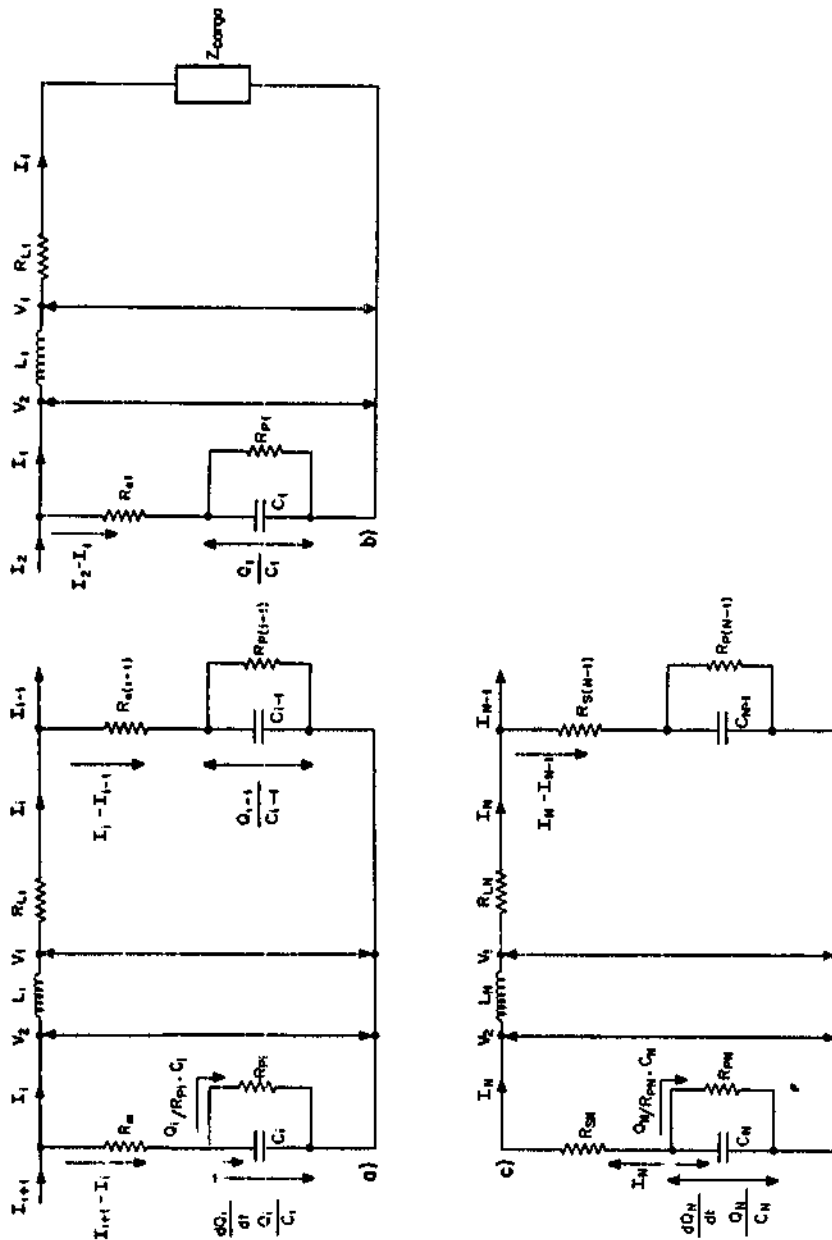


Fig. 6 - Malhas do circuito formador de pulso LC para obtenção das equações de Kirchhoff.

O fato de L e C não serem elementos ideais faz com que a corrente na carga para  $Z_{\text{carga}} = Z_{\text{linha}}$  não tenha a forma mostrada na Figura 4c, mas sim a mostrada na Figura 7.

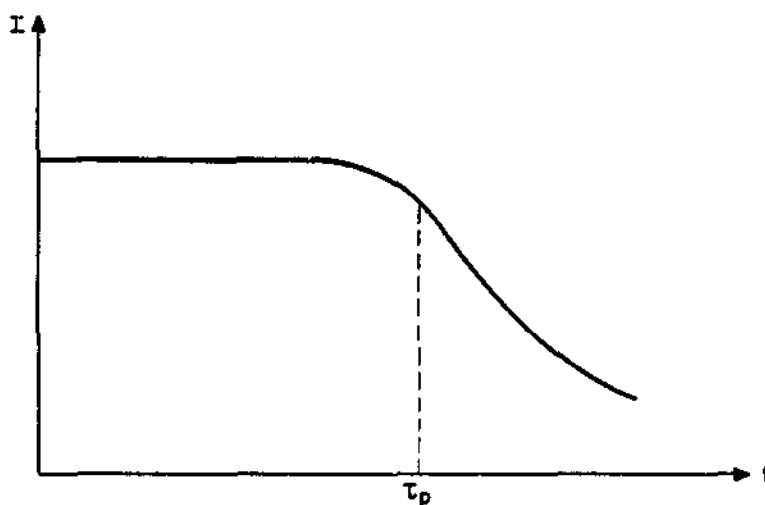


Fig. 7 - Forma do pulso para  $Z_{\text{linha}} = Z_{\text{carga}}$  quando L e C não são ideais.

### 3 IMPEDÂNCIA DO PLASMA E DIMENSIONAMENTO DO CIRCUITO PARA UM PULSO DE 12 ms.

A impedância do plasma ( $Z_p$ ) foi obtida através do valor de tensão aplicada ao catodo (tensão na qual o banco de capacitores de 50 mF é carregado, Figura 1) dividida pela corrente de plasma ( $I_p$ , valor de pico, Figura 2). A Tabela 1 sintetiza os valores obtidos de  $Z_p = V/I_p$  com catodos de Mg, Zn, Cd, Pb (pureza de 99,5%) para cinco valores de campo magnético: (0; 0,75; 1,5; 2,25; 3,0 KG) e tensão do catodo que varia entre 40 e 80 V.

Dos valores mostrados na Tabela 1, vê-se que para um intervalo amplo de campo magnético e tensão do catodo a impedância do plasma se situa entre os valores 30-40 mΩ.

TABELA 1 - IMPEDÂNCIA DO PLASMA

M A G N E S I O	B (KG) ↓ V (VOLTS) ↑	B (KG) ↓ V (VOLTS) ↑			B (KG) ↓ V (VOLTS) ↑			B (KG) ↓ V (VOLTS) ↑			
		0	0,75	1,5	2,25	3,0	0	0,75	1,5	2,25	3,0
50	34	39					40	30	41	47	55
65	29	32	35	32	37		60	25	30	34	37
80			30	30	31		80	23	26	29	31

Z - N O	C H U M O	B (KG) ↓ V (VOLTS) ↑			B (KG) ↓ V (VOLTS) ↑			B (KG) ↓ V (VOLTS) ↑			
		0	0,75	1,5	2,25	3,0	0	0,75	1,5	2,25	3,0
50	34	39					40	30	33	41	
65	29	32	35	32	37		60	25	26	30	35
80			30	30	31		80	22	23	26	29

C H U M O	C A D M - O	B (KG) ↓ V (VOLTS) ↑			B (KG) ↓ V (VOLTS) ↑			B (KG) ↓ V (VOLTS) ↑			
		0	0,75	1,5	2,25	3,0	0	0,75	1,5	2,25	3,0
50	34	39					40	30	33	41	
65	29	32	35	32	37		60	25	26	30	35
80			30	30	31		80	22	23	26	29

C A D M - O	C A D M - O	B (KG) ↓ V (VOLTS) ↑			B (KG) ↓ V (VOLTS) ↑			B (KG) ↓ V (VOLTS) ↑			
		0	0,75	1,5	2,25	3,0	0	0,75	1,5	2,25	3,0
50	34	39					40	30	33	41	
65	29	32	35	32	37		60	25	26	30	35
80			30	30	31		80	22	23	26	29

A Figura 8 mostra a dependência temporal do campo magnético no qual se vê que em torno do valor máximo o campo é praticamente constante por cerca de 10-15ms.

Da impedância do plasma e do tempo pelo qual o campo magnético pode ser considerado como constante, conclui-se que:

- 1) A impedância da linha  $Z_0$  tem de ser aproximadamente igual à do plasma para haver bom casamento de impedâncias.

$$Z_0 = \sqrt{\frac{L}{C}} = 30-40 \text{ m}\Omega.$$

- 2) O tempo de duração do pulso tem de ser menor que ou igual ao tempo pelo qual o campo magnético possa ser considerado constante.

$$\tau_p = 2N\sqrt{LC} = 10-15 \text{ ms.}$$

As seguintes escolhas foram feitas:

- 1) O número de estações foi escolhido como  $N = 22$ .
- 2) A capacitância  $C$  de cada estação é de  $7,5 \text{ mF}$ , composta de 3 capacitores de  $2500 \mu\text{F}/350\text{V}$  em paralelo (capacitores eletrolíticos -Siemens-Icotron). Este conjunto de 3 capacitores possui uma resistência em paralelo ( $R_p = 30 \text{ m}\Omega$ ) e uma resistência em série ( $R_s = 100 \text{ K}\Omega$ ), dados estes obtidos dos valores individuais de cada capacitor, fornecido pelo fabricante.

Fazendo  $L = 10 \mu\text{H}$ , têm-se os resultados:

$$Z_0 = 36 \text{ m}\Omega,$$

$$\tau_p = 12 \text{ ms.}$$

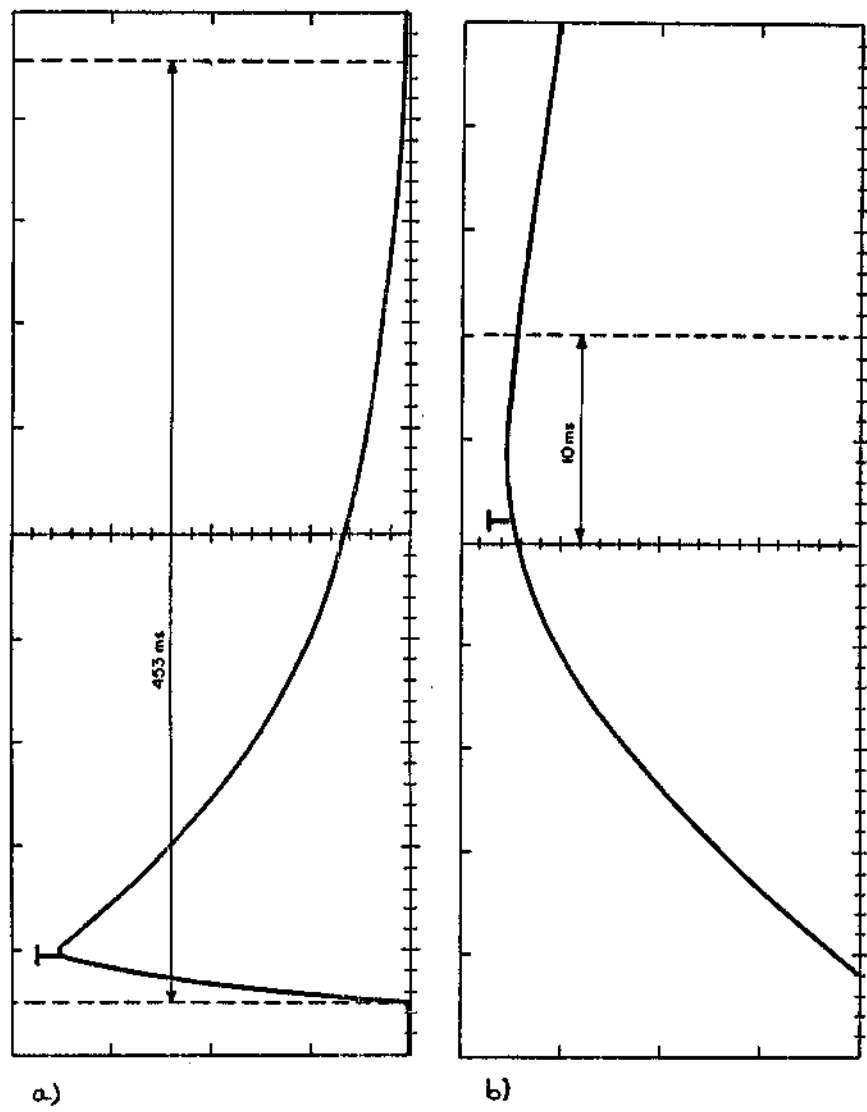


Fig. 8 - Variação temporal do campo magnético axial da PCEN.  
a) duração total do campo; b) variação em torno do valor de pico.

A indutância de  $10 \mu H$  foi dimensionada utilizando a expressão para indutor curto, com uma camada e núcleo de ar:

$$L (\mu H) = \frac{39,5N^2a^2}{9a + 101}, \quad (8)$$

onde  $N$  é o número de espiras,  $a$  é o raio do indutor e  $l$  é o comprimento do indutor ( $a$  e  $l$  em metros).

#### 4 SIMULAÇÃO DO PULSO DO CIRCUITO LINHA DE TRANSMISSÃO LC

As Equações 3 a 7 foram resolvidas numericamente utilizando um programa com uma sub-rotina que resolve equações diferenciais. A listagem do programa, juntamente com a sub-rotina, encontra-se no Apêndice A.

Esta simulação revelou dados importantes para a obtenção de um pulso de corrente constante por cerca de 12 ms. Três fatos determinaram a construção do indutor.

- 1) Se todos os indutores tivessem o mesmo valor de  $10 \mu H$ , a simulação revelaria que o pulso obtido seria como na forma mostrada na Figura 9.

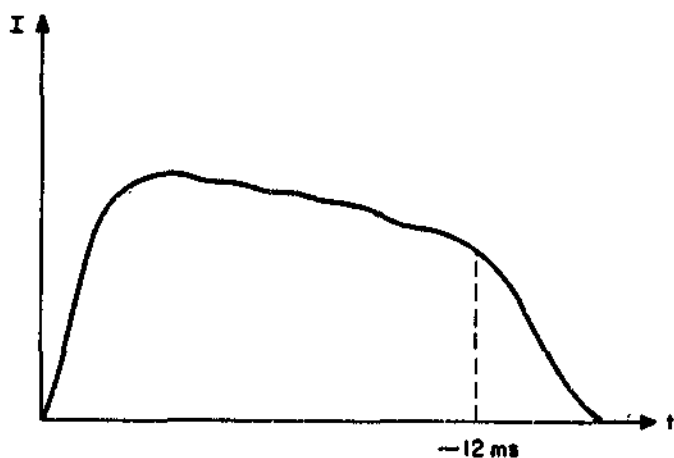


Fig. 9 - Forma do pulso de corrente com todos os indutores iguais a  $10 \mu H$ .

- 2) Se a resistência dos indutores fosse maior que  $1\text{ m}\Omega$ , a simulação revelaria que o pulso seria como na forma mostrada na Figura 10, o que fez com que se utilizasse fio com seção maior que  $120\text{ mm}^2$ .

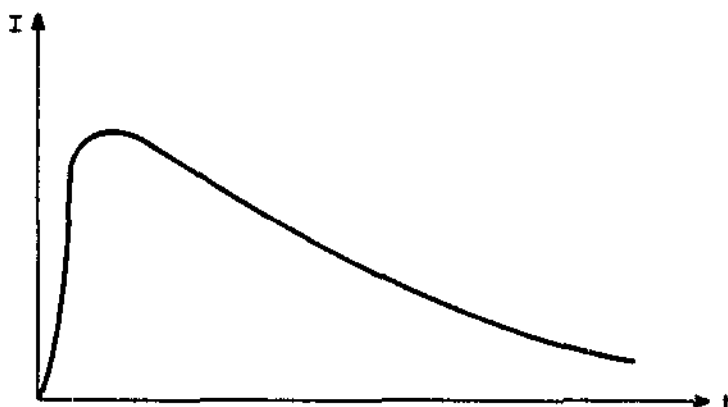


Fig. 10 - Forma do pulso quando a resistência dos indutores for maior que  $1\text{ m}\Omega$ .

- 3) Para a obtenção de um pulso bem constante, ter-se-ia de construir indutores com números de espiras não-inteiros. Durante a construção isto se mostrou impossível, pois ao fazer as ligações com os capacitores o fio de ligação aumentava ou subtraía o valor da indutância previamente calculado. Para que todas as ligações terminassem na mesma posição, evitando assim o problema do fio de ligação, decidiu-se utilizar número inteiro de espiras.

##### 5 FORMA FINAL DO CIRCUITO FORMADOR DE PULSO LC

A Tabela 2 dá os valores das indutâncias utilizadas (valores calculados com a Expressão 8), número de espiras (N), raio do indutor (a) e o valor da resistência do indutor:

TABELA 2 - PARÂMETROS DOS INDUTORES UTILIZADOS

a (cm)	L ( $\mu$ H)	N	$R_x$ (m $\Omega$ )
10,9	11,6	8	0,55
10,9	9,7	7	0,48
10,9	7,7	6	0,41
10,9	5,9	5	0,35

Os 22 indutores foram construídos sobre um suporte de madeira. Foi enrolado sobre este suporte fio de 185 mm<sup>2</sup> de seção num comprimento total aproximado de 3 metros e 200 quilos de peso. Depois de completado o número de espiras para dar a indutância desejada, foi feita a ligação com o capacitor. A Figura 11 mostra a foto do circuito formador de pulso.



Fig. 11 - Foto do circuito linha de transmissão LC construído.

A Figura 12 mostra a disposição utilizada dos 22 indutores com seus valores medidos (em  $\mu$  H) e as respectivas resistências (em  $m\Omega$  ).

A Figura 13 mostra o resultado da simulação numérica para a disposição mostrada na Figura 12. Admitiu-se nesta simulação que  $R_{plasma} = 40 m\Omega$  e  $L_{plasma} = 0H$ .

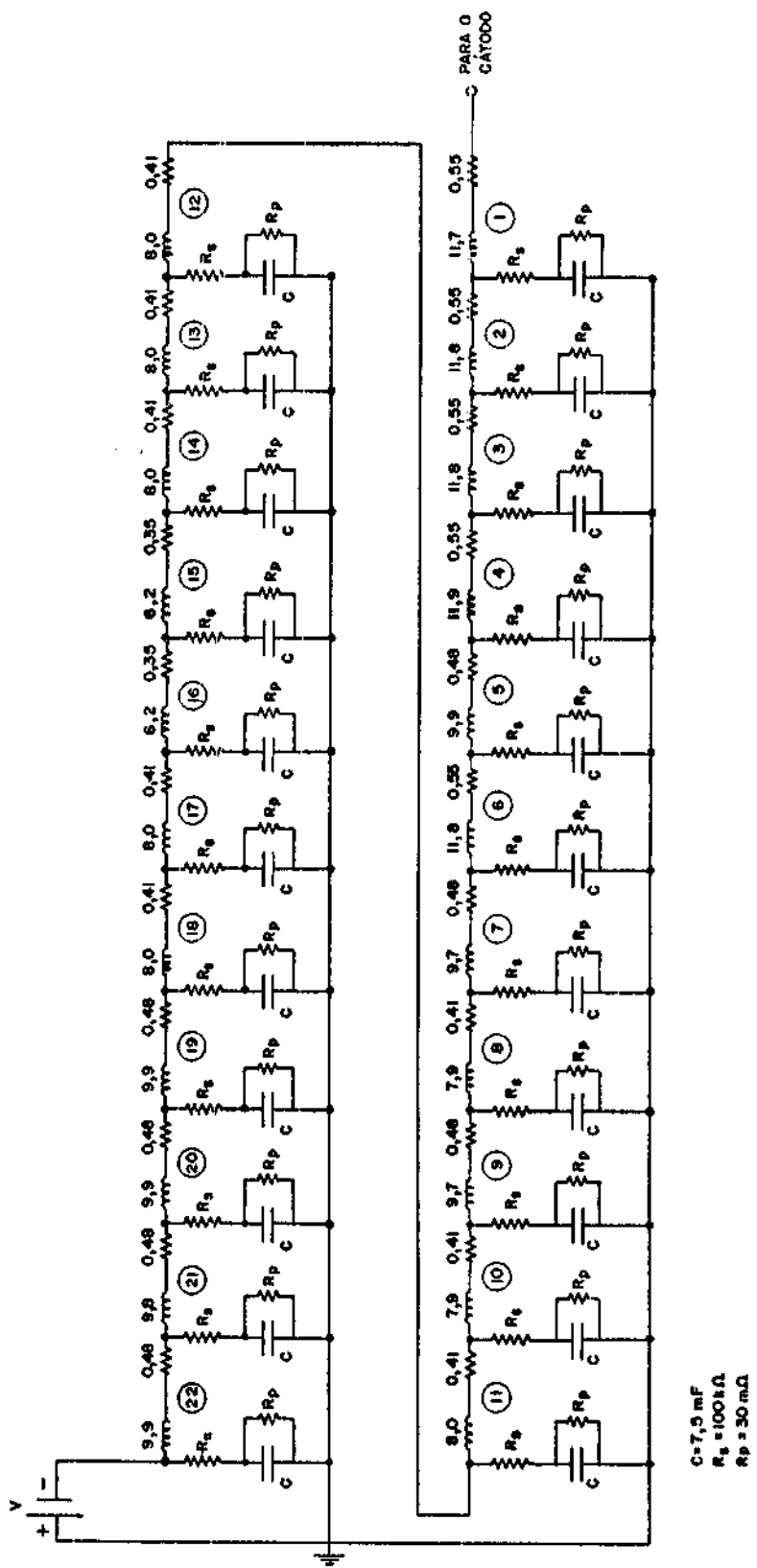


Fig. 12 - Disposição dos 22 indutores, seus valores e respectivas resistências.

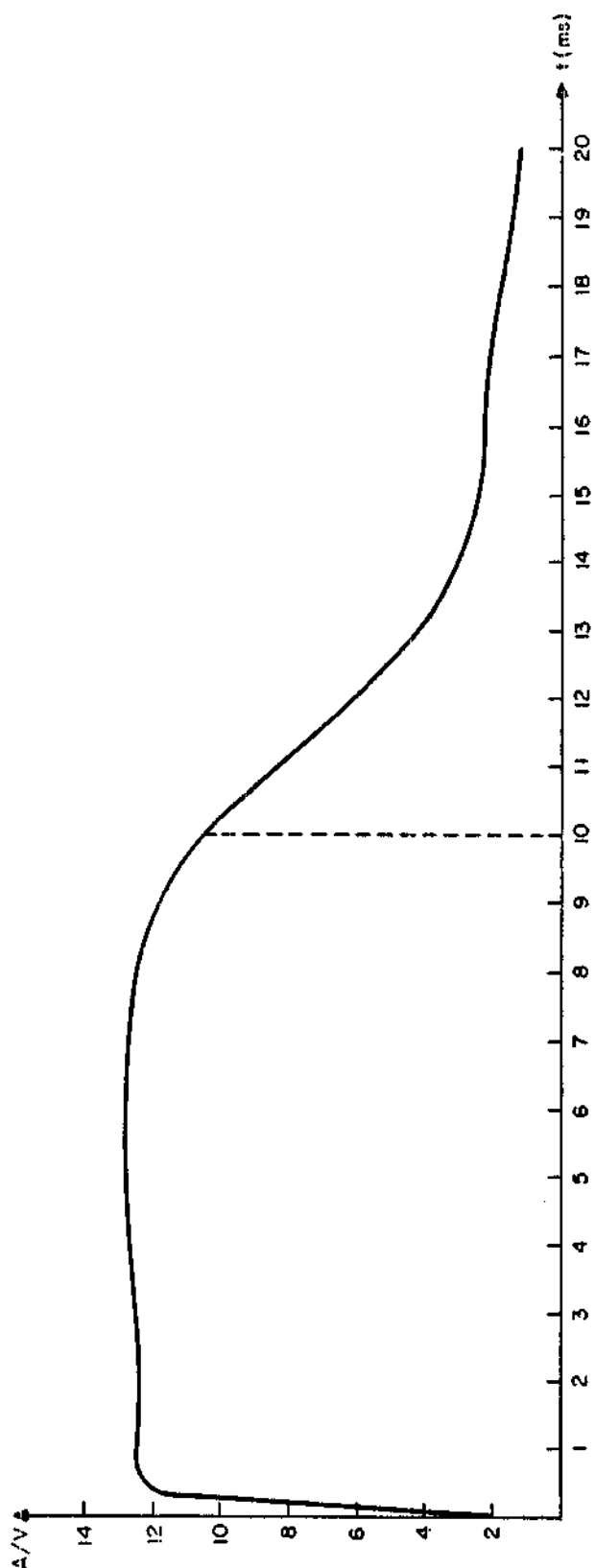


Fig. 13 - Pulso de corrente com a disposição da Figura 12.  
Resultado obtido com simulação numérica.

## 6 RESULTADOS OBTIDOS EXPERIMENTALMENTE

A Figura 14 mostra o pulso de corrente obtido experimentalmente. O catodo era de magnésio, sendo a tensão de carga de 100V e o campo magnético de 1,5 KG.

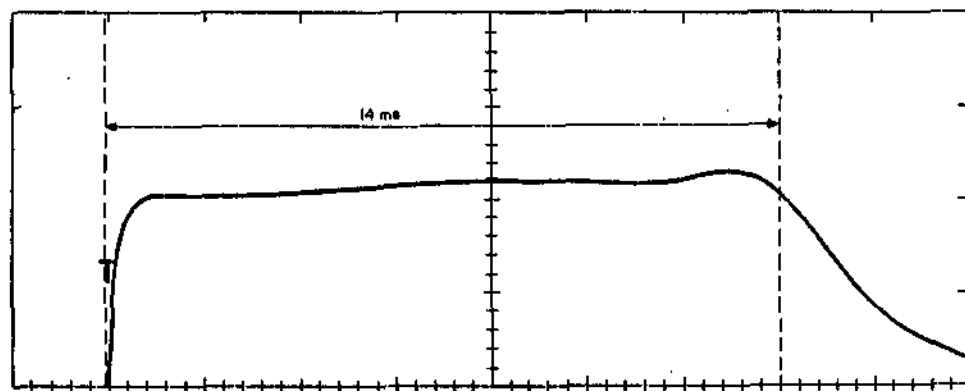


Fig. 14 - Pulso de corrente obtido experimentalmente com catodo de magnésio, tensão de carga de 100V e campo magnético de 1,5 KG.

Na Figura 14 tem-se uma corrente de plasma de 810A, com pouca variação por cerca de 11 ms.

A Figura 15 mostra o pulso de corrente juntamente com o campo magnético, onde se vê que o campo varia pouco durante o pulso de corrente de plasma.

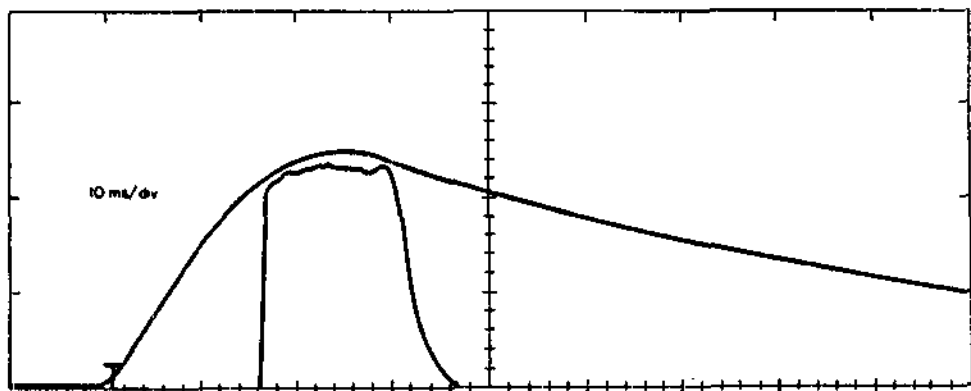


Fig. 15 - Pulso de corrente e campo magnético.

## 7 DISCUSSÃO DOS RESULTADOS

Pela simulação numérica (Figura 13) obtém-se um pulso de corrente com  $\tau_p = 10$  ms. Experimentalmente (Figura 14) obtém-se  $\tau_p = 14$  ms. Embora as formas de onda sejam iguais, há uma diferença nos tempos de duração dos pulsos (razão entre os tempos de 1,4).

A simulação numérica não leva em conta o efeito do acoplamento entre os indutores, e este acoplamento existe pela maneira com que os indutores foram construídos. Dos tempos obtidos pela simulação numérica e do obtido experimentalmente, é possível obter uma estimativa da indutância efetiva.

A indutância efetiva para dois indutores ligados em série é dada pela expressão:

$$L_{ef} = L_1 + L_2 + 2K\sqrt{L_1 L_2} \quad (-1 \leq k \leq 1). \quad (9)$$

Tomando aproximadamente  $L_1 = L_2 = L$ , obtém-se

$$L_{ef} = 2L(1 + K). \quad (10)$$

Dos tempos de simulação e o experimental (efetivo), têm-se

$$\tau_{sim} = 2N\sqrt{LC} \sim 10 \text{ ms.}, \quad (11)$$

$$\tau_{ef} = 2N\sqrt{L_{ef}C} \sim 14 \text{ ms.} \quad (12)$$

Obtém-se das Equações 11 e 12 que  $L_{ef} \sim 2L$  e da Equação 10 que  $K \sim 0$ .

## 8 CONCLUSÃO

O objetivo de obter um pulso de corrente de plasma praticamente constante por cerca de 10 ms. foi plenamente atingido.

Embora a simulação numérica não leve em conta a mútua indutância, esta simulação revelou dados importantes para a obtenção de um pulso de corrente constante. Os dois fatos mais importantes revelados pela simulação foram o do limite na resistência do indutor e de como os valores dos 22 indutores devem ser variados, para a obtenção de um pulso o mais constante possível.

### REFERÊNCIAS BIBLIOGRÁFICAS

- [1] BITTENCOURT, J.A. Theoretical behaviour of fully ionized multiple species magnetized plasmas under rotation. São José dos Campos, INPE, June 1986. (INPE-3915-RPE/510).
- [2] BITTENCOURT, J.A.; LUDWIG, G.O. Steady state behaviour of rotating plasmas in a vacuum-arc centrifuge. Plasma Physics and Controlled Fusion, 29(5):601-620, 1987.
- [3] DEL BOSCO, E.; DALLAQUA, R.S.; LUDWIG, G.O.; BITTENCOURT, J.A. Isotopic enrichment in a plasma centrifuge. Applied Physics Letters, 50:1716-1718, June 1987.
- [4] DEL BOSCO, E.; DALLAQUA, R.S.; BITTENCOURT, J.A.; LUDWIG, G.O. Vacuum-arc plasma centrifuge experiment. IEE Transactions on Plasma Science, 17(5):701-704, Oct. 1989.
- [5] DEL BOSCO, E.; DALLAQUA, R.S.; LUDWIG, G.O. Utilização de um analisador quadrupolar de massa para monitoramento de plasmas de elementos metálicos. Revista Brasileira de Aplicações do Vácuo, 5(1,2):160-167, 1985.

## APÊNDICE A

### CÁLCULO NUMÉRICO DO PULSO DE CORRENTE DE PLASMA

Neste apêndice apresenta-se a listagem do programa utilizado na simulação do pulso da corrente de plasma. Tanto o programa como a sub-rotina foram cedidos gentilmente por Krishman durante sua visita ao LAP em outubro de 1984. No programa foram feitas algumas modificações por Del Bosco.

Os dados de entrada foram:

Número de estações LC	-	$N = 22$
Resistência em série do capacitor	-	$R_s = 1 \times 10^5 \Omega$
Resistência em paralelo do capacitor	-	$R_p = 0,03 \Omega$
Capacitância	-	$C = 7,5 \times 10^{-3} F$
Resistência do plasma	-	$R_{plasma} = 40 \times 10^{-3} \Omega$
Indutância do plasma	-	$L_{plasma} = 0,0H$

Os valores dos indutores são dados logo após a listagem do programa. O primeiro número da coluna é o número do indutor (que é o mesmo da sua disposição no circuito); o segundo número é a indutância em H; e o terceiro é a resistência do indutor em ohm.

Logo após os dados de entrada estão os dados de saída, onde o primeiro número da coluna é o tempo em ms., e o segundo é a corrente de plasma em A/V. A Figura A.1 é o gráfico da corrente de plasma (A/V) versus tempo (ms.).

```
REAL*8 Y(180),YP(180),T,TOUT,RELERR,ABSERR,WORK(503)
DIMENSION XT(300),YC(300)
COMMON NN,RLOAD,ALLOAD
COMMON RP(90),RC(90),RL(90),C(90),AL(90)
INTEGER NEQN,IFLAG,IWORK(5)
EXTERNAL F
OPEN(14,FILE='INW.DAT',STATUS='OLD')
OPEN(15,FILE='DNW.DAT',STATUS='NEW')

READ(14,*),NND,RPD,RCD,ALLOAD,NN
NN=NN
DO 100 I=1,NN
RP(I)=RPD
RC(I)=RCD
C(I)=CD
READ(14,*),AL(I),RL(I)
WRITE(15,*),AL(I),RL(I)
Z(I)=0.
100 CONTINUE
RLOAD=RLOAD
ALLOAD=ALLOAD
VOL=1.
DO 200 I=1,NN
H=NN
J=I+H
Y(IJ)=V0*C(IJ)
200 CONTINUE
T=0.
POUT=1.0E-5
NEQH=2*NN
RELERR=1.E-8
ABSERR=1.E-8
IFLAG=1
DO 500 I=1,300
XT(I)=0.0
500 YC(I)=0.0
DO 300 K=1,300
CALL RKF45(P,NEQN,Y,T,TOUT,RELERR,ABSERR,IFLAG,WORK,IWORK,JAA)
IF (JAA .EQ. 1) GO TO 400
ATOUT=1.8+3*TOUT
TYPE 302,ATOUT,Y(1),IFLAG
WRITE(15,301)ATOUT,Y(1),XFLAG,K
TOUT=TOUT+5.0E-5
XT(K)=ATOUT
YC(K)=Y(1)
300 CONTINUE
400 K=K-1
CALL GRAF(XT,YC,K)
301 FORMAT(2F12.4,5X,I2,5X,I2)
302 FORMAT(3F12.4,I2)
END
C.....*****
C
SUBROUTINE *(T,Y,YP)
REAL*8 X(180),YP(180)
COMMON NN,RLOAD,ALLOAD
COMMON RP(90),RC(90),RL(90),C(90),AL(90)
NN=2*NN
NI=NN+1
YP(1)=(-Y(1)*(RP(1)+RLOAD+RL(1)))+(Y(NI)/C(1))+(Y(2)*RP(1))/
$ (AL(1)+ALLOAD)
HJ=NN-1
NN=NN-1
DO 500 L=2,HJ
YP(L)=(RP(L)*(Y(L+1)-Y(L))+(Y(L+NN)/C(L))-RP(L-1)*(Y(L)-Y(L-1))-
$ +(Y(L+HJ)/C(L-1))-RL(L)*Y(L))/AL(L)
500 CONTINUE
YP(HN)=(-Y(HN)*(RP(HN)+RP(NJ)+RL(HN))+(Y(NNN)/C(HN))-
$ +(Y(HN)/C(HJ))+Y(HJ)*RP(NJ))/AL(HN)
DO 600 M=1,NK
YP(M)=Y(M-HJ)-Y(M-NN)-Y(M)/(C(M-HJ)*RC(M-NN))
600 CONTINUE
YP(NNN)=Y(HN)-Y(NNN)/(C(HN)*RC(HN))
RETURN
END
C.....*****
C
SUBROUTINE LRK45(P,NEQN,Y,T,TOUT,RELERR,ABSERR,IFLAG,WORK,IWORK,
$ JAA)
INTEGER NEQN,IFLAG,IWORK(5)
DOUBLE PRECISION Y(NEQN),T,TOUT,RELERR,ABSERR,WORK(1)
EXTERNAL F
INTEGER K1,F2,K3,K4,K5,K6,KIM
```

```
C      K1M=NEQN+1
C      K1=K1M+1
C      K2=K1+NEQN
C      K3=K2+NEQN
C      K4=K3+NEQN
C      K5=K4+NEQN
C      K6=K5+NEQN
C
C      CALL RKFS(IF,NEQN,Y,T,TOUT,RELERR,ABSERR,IFLAG,WORK(1),WORK(K1M),
$ WORK(K1),WORK(K2),WORK(K3),WORK(K4),WORK(K5),WORK(K6),
$ WORK(K6+1),IWORK(1),IWORK(2),IWORK(3),IWORK(4),IWORK(5),JAA)
      RETURN
      END
C.....SUBROUTINE RKFS(F,NEQN,Y,T,TOUT,RELERR,ABSERR,IFLAG,YP,B,F1,F2,F3,
$ F4,F5,SAVRE,SAVAE,NFE,KOP,INIT,JFLAG,KFLAG,JAA)
C
C      LOGICAL NFAILD,OUTPUT
C      INTEGER NEQN,IFLAG,NFE,KOP,INIT,JFLAG,KFLAG
C      DOUBLE PRECISION Y(NEQN),T,TOUT,RELERR,ABSERR,H,YP(NEQN),
$ F1(NEQN),F2(NEQN),F3(NEQN),F4(NEQN),F5(NEQN),SAVRE,
$ SAVAE
C      EXTERNAL F
C      DOUBLE PRECISION A,AE,DT,EE,EEOET,ESTTOL,ET,HMIN,REMIN,RER,S,
$ SCALB,TOL,TOLN,TWOEPS,U26,YPK
C      INTEGER K,MAXNFE,MFLAG
C      DOUBLE PRECISION DABS,DMAX1,DMIN1,DSIGN
C
C      DATA REMIN/1.0-12/
C
C      DATA MAXNFE/3000/
C
C      DATA TWOEPS,U26/4.4D-16,5.72D-15/
C
C      IF (NEQN .LT. 1) GO TO 10
C      IF ((RELERR .LT. 0.0D0) .OR. (ABSERR .LT. 0.0D0)) GO TO 10
C      MFLAG=IABS(IFLAG)
C      IF ((MFLAG .GE. 1) .AND. (MFLAG .LE. 8)) GO TO 20
C 10  IFLAG=8
C      RETURN
C
C 20  IF(MFLAG .EQ. 1) GO TO 50
C      IF((T .EQ. TOUT) .AND. (KFLAG .NE. 3)) GO TO 10
C      IF(MFLAG .NE. 2) GO TO 25
C      IF(KFLAG .EQ. 3) GO TO 45
C      IF(INIT .EQ. 0) GO TO 45
C      IF(KFLAG .EQ. 4) GO TO 40
C      IF((KFLAG .EQ. 5) .AND. (ABSERR .EQ. 0.0D0)) GO TO 30
C      IF((KFLAG .EQ. 6) .AND. (RELERR .LE. SAVRE) .AND.
$ (ABSERR .LE. SAVAE)) GO TO 30
C      GO TO 50
C
C 25  IF(IFLAG .EQ. 3) GO TO 45
C      IF(IFLAG .EQ. 4) GO TO 40
C      IF((IFLAG .EQ. 5) .AND. (ABSERR .GT. 0.0D0)) GO TO 45
C
C 30  JAA=1
C      RETURN
C
C 40  NFE=0
C      IF(MFLAG .EQ. 3) GO TO 50
C 45  IFLAG=JFLAG
C      IF(KFLAG .EQ. 3) MFLAG=IABS(IFLAG)
C 50  JFLAG=IFLAG
C      KFLAG=0
C      SAVRE=RELERR
C      SAVAE=ABSERR
C
C      RER=TWOEPS+REMIN
C      IF(RELERR .GE. RER) GO TO 55
C      RELERR=RER
C      IFLAG=3
C      KFLAG=3
C      RETURN
C 55  DT=TOUT-T
C      IF(IFLAG .EQ. 1) GO TO 60
C      IF(INIT .EQ. 0) GO TO 65
C      GO TO 50
C
C 60  INIT=0
C      KOP=0
C      A=T
```

```
CALL F(A,T,YP)
NFE=1
IF(T .NE. TOUT) GO TO 65
IFLAG=2
RETURN
65 INIT=1
H=DABS(DT)
TOLN=0.
DO 70 K=1,NEQN
TOL=RELERP*DABS(Y(K))+ABSERR
IF(TOL .LE. 0.) GO TO 70
TOLN=TOL
YPK=DABS(YP(K))
IF(YPK*H**5 .GT. TOL) H=(TOL/YPK)**0.2D0
70 CONTINUE
IF(TOLN .LE. 0.0D0) H=0.0D0
H=DMAX1(H,U26*DMAX1(DABS(T),DABS(DT)))
IFLAG=ISIGN(2,IFLAG)
C
80 H=DSIGN(H,DT)
C
IF(DABS(H) .GE. 2.0D0*DABS(DT)) KOP=KOP+1
IF(KOP .NE. 100) GO TO 85
KOP=0
IFLAG=7
RETURN
85 IF(DABS(DT) .GT. U26*DABS(T)) GO TO 95
DO 90 K=1,NEQN
90 Y(K)=Y(K)+DT*YP(K)
A=TOUT
CALL F(A,Y,YP)
NFE=NFE+1
GO TO 300
95 OUTPUT=.FALSE.
C
SCALE=2.000/RELERP
AE=SCALE*ABSERR
100 NFAILD=.FALSE.
C
HMIN=U26*DABS(T)
C
DT=TOUT-T
IF(DABS(DT) .GE. 2.0D0*DABS(H)) GO TO 200
IF(DABS(DT) .GT. DABS(H)) GO TO 150
C
OUTPUT=.TRUE.
H=DT
GO TO 200
150 H=0.5D0*DT
C
C
C
200 IF(NFE .LE. MAXNFE) GO TO 220
IFLAG=4
KFLAG=4
RETURN
C
220 CALL FENL(F,NEQN,Y,T,H,YP,F1,F2,F3,F4,Y5,F1)
NFE=NFE+5
C
EEQET=0.0D0
DO 250 K=1,NEQN
ET=DABS(Y(K))+DABS(Y1(K))+AE
IF(ET .GT. 0.0D0) GO TO 240
IFLAG=5
RETURN
240 EE=DABS((-2090.0D0*YP(K)+(21970.0D0*F3(K)-15048.0D0*F4(K)))+
$(22528.0D0*F2(K)-27360.0D0*F5(K)))
250 EEQET=DMAX1(EEQET,EE/ET)
ESTTOL=DABS(H)*EEQET*SCALE/752400.0D0
IF(ESTTOL .LE. 1.0D0) GO TO 260
C
NFAILD=.TRUE.
OUTPUT=.FALSE.
S=0.1D0
IF(ESTTOL .LT. 59049.0D0) S=C.9D0/ESTTOL**0.2D0
H=S*H
IF(DABS(H) .GT. HMIN) GO TO 200
IFLAG=5
KFLAG=6
RETURN
C
C
260 T=T+H
DO 270 K=1,NEQN
```

```
270 Y(K)=F1(K)
A=T
CALL F(A,Y,YP)
NFE=NFE+1
C
C
S=5.000
IF(ESTTOL .GT. 1.889568D-4) S=0.9D0/ESTTOL**0.2D0
IF(NFAILD) S=DMINI(S,1.0D0)
H=DSIGN(DMAX1(S*DABS(H),HMIN),H)
C
IF(OUTPUT) GO TO 300
IF(IFLAG .GT. 0) GO TO 100
IFLAG=-2
RETURN
100 T=TOUT
IFLAG=2
RETURN
END
C
C.....SUBROUTINE FHL(P,NEQN,Y,T,H,YP,F1,F2,F3,F4,F5,S)
C
C
INTEGER NEQN
DOUBLE PRECISION Y(NEQN),T,H,YP(NEQN),F1(NEQN),F2(NEQN),
$F3(NEQN),F4(NEQN),F5(NEQN),S(NEQN)
DOUBLE PRECISION CH
INTEGER K
CH=H/4.0D0
DO 221 K=1,NEQN
221 F5(K)=Y(K)+CH*YP(K)
CALL F(T+CH,F5,F1)
CH=3.0D0*H/32.0D0
DO 222 K=1,NEQN
222 F5(K)=Y(K)+CH*(YP(K)+3.0D0+F1(K))
CALL F(T+3.0D0*H/8.0D0,F5,F2)
CH=H/2197.0D0
DO 223 K=1,NEQN
223 F5(K)=Y(K)+CH*((1932.0D0*YP(K)+(7296.0D0+F2(K)-7200.0D0*F1(K)))
CALL F(T+12.0D0*H/13.0D0,F5,F3)
CH=H/4104.0D0
DO 224 K=1,NEQN
224 F5(K)=Y(K)+CH*((8341.0D0*YP(K)-845.0D0+F3(K))+  
$(29440.0D0+F2(K)-32632.0D0*F1(K)))
CALL F(T+H,F5,F4)
CH=H/70520.0D0
DO 225 K=1,NEQN
225 F1(K)=Y(K)+CH*((-6080.0D0*YP(K)+(5295.0D0*F3(K)-  
$5643.0D0*F4(K)))+(41040.0D0*F1(K)-28352.0D0*F2(K)))
CALL F(T+H/2.0D0,F1,F5)
C
CH=H/7618050.0D0
DO 230 K=1,NEQN
230 S(K)=Y(K)+CH*((190280.0D0*YP(K)+(3055735.0D0*F3(K))-  
$1371249.0D0*F4(K))+(3953664.0D0*F2(K)+  
$277020.0D0*F5(K)))
RETURN
END
C
C.....SUBROUTINE GRAF(XT,YC,K)
DIMENSION XT(K),YC(K)
CALL BEGPLT('META.DAT')
CALL LPLOT(1,1,XT,YC,K,1,'CORRENTE DE PLASMA',18,
$ 'TEMPO ( MS )',12,'CORRENTE/VOLT ( A/V )',21)
CALL FINPLT
RETURN
END
```

- A.6 -

22  
.03  
1.0E+5  
7.5E-3  
40.0E-3  
0.0  
1,11.7E-6,0.35E-3  
2,11.6E-6,0.55E-3  
3,11.6E-6,0.55E-3  
4,11.9E-6,0.55E-3  
5,9.9E-6,0.48E-3  
6,11.8E-6,0.55E-3  
7,9.7E-6,0.48E-3  
8,7.9E-6,0.41E-3  
9,9.7E-6,0.48E-3  
10,7.9E-6,0.41E-3  
11,8.0E-6,0.41E-3  
12,8.0E-6,0.41E-3  
13,8.0E-6,0.41E-3  
14,8.0E-6,0.41E-3  
15,6.2E-6,0.35E-3  
16,6.2E-6,0.35E-3  
17,6.0E-6,0.41E-3  
18,8.0E-6,0.41E-3  
19,9.9E-6,0.48E-3  
20,9.9E-6,0.48E-3  
21,9.8E-6,0.48E-3  
22,9.9E-6,0.48E-3

- A.7 -

0.0100	0.0294	2	1
0.1100	6.8159	2	2
0.2100	9.9172	1	3
0.3100	11.4273	2	4
0.4100	12.1056	1	5
0.5100	12.3751	2	6
0.6100	12.4591	2	7
0.7100	12.4676	1	8
0.8100	12.4512	2	9
0.9100	12.4305	2	10
1.0100	12.4126	1	11
1.1100	12.3993	1	12
1.2100	12.3905	2	13
1.3100	12.3855	2	14
1.4100	12.3839	2	15
1.5100	12.3851	2	16
1.6100	12.3867	2	17
1.7100	12.3942	2	18
1.8100	12.4011	2	19
1.9100	12.4089	2	20
2.0100	12.4172	2	21
2.1100	12.4258	2	22
2.2100	12.4345	2	23
2.3100	12.4434	2	24
2.4100	12.4525	2	25
2.5100	12.4620	2	26
2.6100	12.4722	2	27
2.7100	12.4832	2	28
2.8100	12.4954	2	29
2.9100	12.5087	2	30
3.0100	12.5232	2	31
3.1100	12.5389	2	32
3.2100	12.5555	2	33
3.3100	12.5720	2	34
3.4100	12.5907	2	35
3.5100	12.6088	2	36
3.6100	12.6267	2	37
3.7100	12.6443	2	38
3.8100	12.6613	2	39
3.9100	12.6775	2	40
4.0100	12.6926	2	41
4.1100	12.7067	2	42
4.2100	12.7195	2	43
4.3100	12.7311	2	44
4.4100	12.7414	2	45
4.5100	12.7505	2	46
4.6100	12.7584	2	47
4.7100	12.7653	2	48
4.8100	12.7710	2	49
4.9100	12.7759	2	50
5.0100	12.7798	2	51
5.1100	12.7830	2	52
5.2100	12.7854	2	53
5.3100	12.7872	2	54
5.4100	12.7884	2	55
5.5100	12.7890	2	56
5.6100	12.7892	2	57
5.7100	12.7800	2	58
5.8100	12.7879	2	59
5.9100	12.7865	2	60
6.0100	12.7845	2	61
6.1100	12.7819	2	62
6.2100	12.7786	2	63
6.3100	12.7745	2	64
6.4100	12.7695	2	65
6.5100	12.7635	2	66
6.6100	12.7563	2	67
6.7100	12.7479	2	68
6.8100	12.7360	2	69
6.9100	12.7266	2	70
7.0100	12.7133	2	71
7.1100	12.6982	2	72
7.2100	12.6810	2	73
7.3100	12.6615	2	74
7.4100	12.6396	2	75
7.5100	12.6151	2	76
7.6100	12.5879	2	77
7.7100	12.5576	2	78
7.8100	12.5242	2	79
7.9100	12.4875	2	80
8.0100	12.4472	2	81
8.1100	12.4030	2	82
8.2100	12.3540	2	83
8.3100	12.3023	2	84
8.4100	12.2452	2	85

8.5100	12.1832	2	86
8.6100	12.1159	2	87
8.7100	12.0432	2	88
8.8100	11.9646	2	89
8.9100	11.8797	2	90
9.0100	11.7984	2	91
9.1100	11.6901	2	92
9.2100	11.5847	2	93
9.3100	11.4718	2	94
9.4100	11.3512	2	95
9.5100	11.2226	2	96
9.6100	11.0859	2	97
9.7100	10.9409	2	98
9.8100	10.7876	2	99
9.9100	10.6259	2	100
10.0100	10.4561	2	101
10.1100	10.2781	2	102
10.2100	10.0922	2	103
10.3100	9.8987	2	104
10.4100	9.6981	2	105
10.5100	9.4907	2	106
10.6100	9.2771	2	107
10.7100	9.0579	2	108
10.8100	8.8337	2	109
10.9100	8.6053	2	110
11.0100	8.3735	2	111
11.1100	8.1390	2	112
11.2100	7.9026	2	113
11.3100	7.6653	2	114
11.4100	7.4278	2	115
11.5100	7.1910	2	116
11.6100	6.9550	2	117
11.7100	6.7229	2	118
11.8100	6.4932	2	119
11.9100	6.2674	2	120
12.0100	6.0461	2	121
12.1100	5.8300	2	122
12.2100	5.6198	2	123
12.3100	5.4159	2	124
12.4100	5.2187	2	125
12.5100	5.0287	2	126
12.6100	4.8462	2	127
12.7100	4.6714	2	128
12.8100	4.5044	2	129
12.9100	4.3455	2	130
13.0100	4.1946	2	131
13.1100	4.0517	2	132
13.2100	3.9168	2	133
13.3100	3.7897	2	134
13.4100	3.6703	2	135
13.5100	3.5583	2	136
13.6100	3.4535	2	137
13.7100	3.3556	2	138
13.8100	3.2643	2	139
13.9100	3.1793	2	140
14.0100	3.1001	2	141
14.1100	3.0266	2	142
14.2100	2.9563	2	143
14.3100	2.8948	2	144
14.4100	2.8357	2	145
14.5100	2.7807	2	146
14.6100	2.7295	2	147
14.7100	2.6816	2	148
14.8100	2.6368	2	149
14.9100	2.5947	2	150
15.0100	2.5551	2	151
15.1100	2.5176	2	152
15.2100	2.4820	2	153
15.3100	2.4400	2	154
15.4100	2.4154	2	155
15.5100	2.3940	2	156
15.6100	2.3536	2	157
15.7100	2.3240	2	158
15.8100	2.2950	2	159
15.9100	2.2666	2	160
16.0100	2.2386	2	161
16.1100	2.2108	2	162
16.2100	2.1832	2	163
16.3100	2.1558	2	164
16.4100	2.1284	2	165
16.5100	2.1010	2	166
16.6100	2.0735	2	167
16.7100	2.0459	2	168
16.8100	2.0182	2	169
16.9100	1.9904	2	170

17.0100	1.9624	2	171
17.1100	1.9343	2	172
17.2100	1.9060	2	173
17.3100	1.8776	2	174
17.4100	1.8490	2	175
17.5100	1.8203	2	176
17.6100	1.7915	2	177
17.7100	1.7623	2	178
17.8100	1.7335	2	179
17.9100	1.7044	2	180
18.0100	1.6753	2	181
18.1100	1.6461	2	182
18.2100	1.6170	2	183
18.3100	1.5879	2	184
18.4100	1.5588	2	185
18.5100	1.5290	2	186
18.6100	1.5009	2	187
18.7100	1.4720	2	188
18.8100	1.4434	2	189
18.9100	1.4149	2	190
19.0100	1.3865	2	191
19.1100	1.3584	2	192
19.2100	1.3305	2	193
19.3100	1.3028	2	194
19.4100	1.2753	2	195
19.5100	1.2482	2	196
19.6100	1.2213	2	197
19.7100	1.1940	2	198
19.8100	1.1665	2	199
19.9100	1.1427	2	200
20.0100	1.1171	2	201
20.1100	1.0920	2	202
20.2100	1.0672	2	203
20.3100	1.0428	2	204
20.4100	1.0188	2	205
20.5100	0.9952	2	206
20.6100	0.9720	2	207
20.7100	0.9493	2	208
20.8100	0.9270	2	209
20.9100	0.9051	2	210
21.0100	0.8837	2	211
21.1100	0.8628	2	212
21.2100	0.8423	2	213
21.3100	0.8222	2	214
21.4100	0.8026	2	215
21.5100	0.7835	2	216
21.6100	0.7649	2	217
21.7100	0.7467	2	218
21.8100	0.7290	2	219
21.9100	0.7117	2	220
22.0100	0.6949	2	221
22.1100	0.6785	2	222
22.2100	0.6626	2	223
22.3100	0.6471	2	224
22.4100	0.6321	2	225
22.5100	0.6175	2	226
22.6100	0.6033	2	227
22.7100	0.5895	2	228
22.8100	0.5762	2	229
22.9100	0.5632	2	230
23.0100	0.5506	2	231
23.1100	0.5384	2	232
23.2100	0.5266	2	233
23.3100	0.5151	2	234
23.4100	0.5040	2	235
23.5100	0.4932	2	236
23.6100	0.4827	2	237
23.7100	0.4726	2	238
23.8100	0.4628	2	239
23.9100	0.4532	2	240
24.0100	0.4439	2	241
24.1100	0.4349	2	242
24.2100	0.4262	2	243
24.3100	0.4177	2	244
24.4100	0.4095	2	245
24.5100	0.4014	2	246
24.6100	0.3936	2	247
24.7100	0.3860	2	248
24.8100	0.3786	2	249
24.9100	0.3714	2	250
25.0100	0.3644	2	251
25.1100	0.3575	2	252
25.2100	0.3508	2	253
25.3100	0.3442	2	254
25.4100	0.3376	2	255

25.5100	0.3315	2	256
25.6100	0.3754	2	257
25.7100	0.3194	2	258
25.8100	0.3135	2	259
25.9100	0.3077	2	260
26.0100	0.3020	2	261
26.1100	0.2964	2	262
26.2100	0.2909	2	263
26.3100	0.2855	2	264
26.4100	0.2802	2	265
26.5100	0.2750	2	266
26.6100	0.2699	2	267
26.7100	0.2648	2	268
26.8100	0.2598	2	269
26.9100	0.2549	2	270
27.0100	0.2501	2	271
27.1100	0.2453	2	272
27.2100	0.2406	2	273
27.3100	0.2360	2	274
27.4100	0.2314	2	275
27.5100	0.2269	2	276
27.6100	0.2225	2	277
27.7100	0.2181	2	278
27.8100	0.2181	7	279

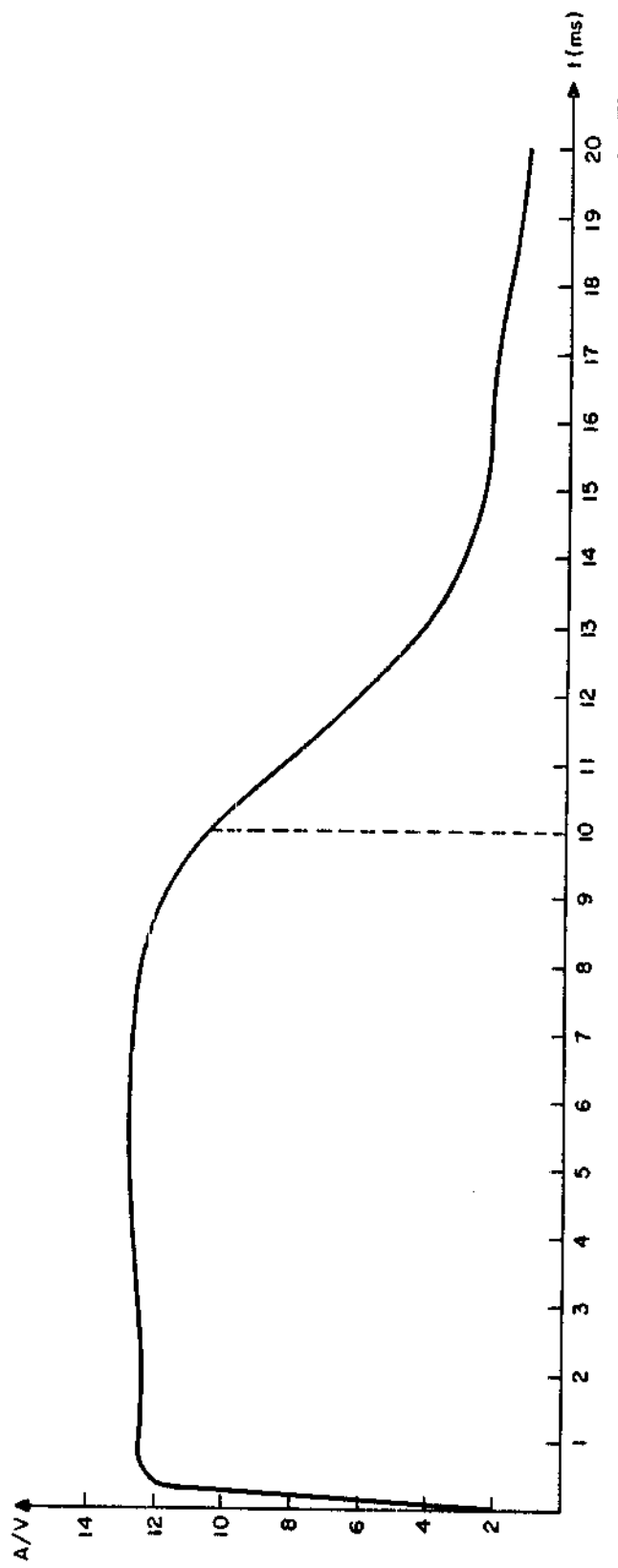


Fig. A.1 - Corrente de plasma versus tempo obtida com a simulação numérica.



PROPOSTA PARA  
PUBLCIACÃO

TÍTULO

- DISSERTAÇÃO  
 TESE  
 RELATÓRIO  
 OUTROS

PROJETO E CONSTRUÇÃO DE UM CIRCUITO FORMADOR DE PULSO PARA A CENTRÍFUGA DE PLASMA

IDENTIFICAÇÃO

AUTOR(ES)

R. S. Dallaqua  
E. Del Bosco  
G. O. Ludwig  
A. Montes

ORIENTADOR

DISS.  
OU  
TESE

LIMITE

DEFESA

CURSO

ORGÃO

EXTERNA

INTERNA

RESTRITA

EVENTO/MEIO

CONGRESSO

REVISTA

OUTROS

NOME DO REVISOR

José Osvaldo Rossi

NOME DO RESPONSÁVEL

GERSON OTTO LUDWIG

REV. TÉCNICA

RECEBIDO

DEVOLVIDO

ASSINATURA

APROVADO

DATA

ASSINATURA

6/6/90

*Ludwig*

APROVADO

REV. LINGUAGEM

Nº

PRIOR.

RECEBIDO

NOME DO REVISOR

3 Y

I

21/5/90

*Marilia Prado Lanzella*

- PÁG.

DEVOLVIDO

ASSINATURA

28

22/5/90

*Marilia P. Lanzella*

OS AUTORES DEVEM MENCIONAR NO VERSO INSTRUÇÕES ESPECÍFICAS, ANEXANDO NORMAS, SE HOUVER

RECEBIDO

DEVOLVIDO

NOME DA DATILOGRAFA

SIM  
 NÃO

— / — / —

AUTORIZO A PUBLICAÇÃO

DIRETOR

Nº DA PUBLICAÇÃO:

PÁG.:

CÓPIAS:

Nº DISCO:

LOCAL:

OBSERVAÇÕES E NOTAS